

24年11月13~15日

G. 知的財産権の出願・登録状況

1. 特許取得：なし
2. 実用新案登録：なし
3. その他：なし

H. 謝辞

本研究の実施にあたりご協力いただいた富山県内各厚生センター、富山市保健所、生活衛生課、健康課の皆様に深謝いたします。

表 1. 集団発生事例からのノロウイルス及びサポウイルス検出状況

(数值：事例数)

○はカキ関連事例（2重丸は2事例あったことを示す）

GI型不明は、塩基配列が得られたものの、型別ができなかつたことを示す。

表2. 小児散発例からのノロウイルス及びサポウイルス検出状況

(数值：検体数)

GI型不明は、リアルタイムPCRで陽性だったものの、PCRで陰性だったことを示す。

表3. 下水流入水におけるノロウイルス及びサポウイルス検出状況

ウイルスが検出された月を灰色で示した。

GII型不明は、塩基配列が得られたものの、型別ができなかつたことを示す。

表 4. 岩ガキからのウイルス検出

調査時期		検体数	陽性数	検出ウイルス
2011年	4月 上旬	1	0	
	4月 中旬	3	0	
	5月 上旬	3	0	
	5月 下旬	5	1	NoV GII.2
	6月 上旬	3	0	
	6月 中旬	2	0	
2012年	6月 下旬	1	1	NoV GII.2
	5月 上旬	4	0	
	5月 下旬	4	0	
	6月 上旬	3	0	
	6月 中旬	2	0	
	6月 下旬	1	0	
計	7月 上旬	3	0	
	7月 中旬	4	0	
計		39	2	

1 検体：岩ガキ 3 個をプール

表5. 患者、下水、岩ガキのウイルス検出時期

下水からウイルスが検出された月を灰色で示した。

患者からウイルスが検出された月は事例数（集団発生）と検体数（散発例）の合計で示した。2012年1月のGI型不明（リアルタイムPCRで陽性、PCRで陰性）については除いた。

岩ガキから検出された月は〇で示した。

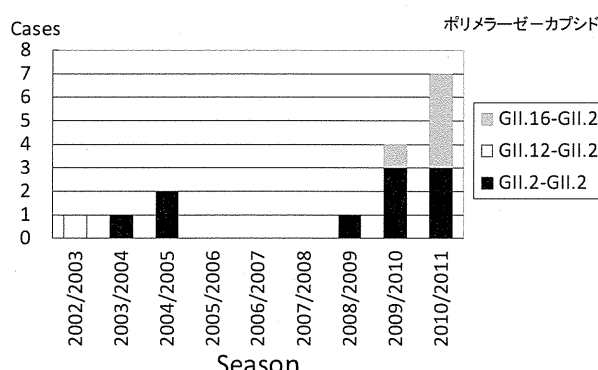
表 6. 2003~2011 年の検体から得られたノロウイルスのキメラウイルス

ポリメラーゼ(ORF1) 遺伝子型	カプシド(ORF2) 遺伝子型	検体数	検体採取年
GI.d	GI.3	4	2005、11年
GI.b	GI.6	7	2006、08、10年
GI.e	Could not assign	2	2011年
GI合計			13
GI.I.12	GI.I.2	2	2003年
GI.I.16	GI.I.2	8	2010、11年
GI.II.b	GI.II.3	17	2003、05、06、09、10年
GI.II.12	GI.II.3	16	2005、06、10年
GI.II.12	GI.II.4	20	2004、05、06年
GI.II.d	GI.II.5	2	2006年
GI.II.7	GI.II.6	25	2004~09年
GI.II.g	GI.II.12	7	2010、11年
GI.II.7	GI.II.14	15	2007、08、11年
GI.II合計			112

GI. e-Could not assign は国内の分類だと GI. 13-GI. 13 となる。

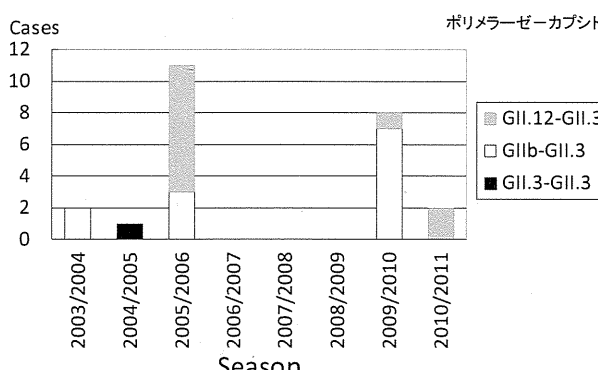
GII. 7-GII. 14 は国内の分類だと GII. 7-GII. 13 となる。

図 1. ノロウイルス GII. 2 のシーズンごとの変化



集団発生は 1 事例 1Case、散発例は 1 症例 1Case として合計を計数した。

図 2.



Case については図 1 と同じ。

厚生労働科学研究費補助金(食品の安全確保推進研究事業)

「食品中の病原ウイルスのリスク管理に関する研究」

総合研究協力報告(平成 22~24 年度)

環境と臨床検体からみた下痢症ウイルスの動態

研究協力者	内野 清子	堺市衛生研究所
	三好 龍也	堺市衛生研究所
	久保 裕季子	堺市衛生研究所
	芝田 有理	堺市衛生研究所
	吉田 永祥	堺市衛生研究所
研究分担者	田中 智之	堺市衛生研究所

研究要旨

2010 年 1 月から 2012 年 12 月にかけて、堺市の下水処理場 3 定点由來の環境検体と散発および集団発生の臨床検体から下痢症ウイルスの検出・解析を行った。ノロウイルス(NV)遺伝子検出状況から、GII.4 は依然として流行の主流であった。特に、2012 年 10 月以降は臨床および環境検体から GII.4 2012 変異株が頻度高く検出された。

3 年間に検出された NV 遺伝子型をみると、臨床検体では GI.2,4,8、GII.2,3,4,12,13 計 8 種類、環境検体では GI.1,2,4,7,10,11,13,14、GII.2,3,4,6,10,11,12,13,14,17 の計 18 種類と多様な NV の関与が認められた。また、サポウイルス(SaV)、アストロウイルス(AsV)、アイチウイルス(AiV)は臨床検体からの検出頻度は低かったが環境検体からはどの定点からも通年にわたり検出された。この結果から、感染症として表面化しない下痢症ウイルスの地域浸淫状況があることが示唆された。

A. 研究目的

NV 感染状況を散発・集団発生から得られた患者便等の臨床面と下水処理場の流入水および放流水の環境面の両面から解析し、堺市における NV 感染症の流行の全体像を把握する一助とする。加えて、臨床検体および環境検体から、患者発生の頻度は低いが NV 以外の食中毒起因ウイル

スとなり得るウイルスの検出を実施し、汚染状況を把握する。

B. 研究方法

調査期間：2010 年 1 月から 2012 年 12 月

1. 材料

臨床検体：2010 年集団発生 15 事例から得られた NV 16 株および散発発生由来患者

便 104 検体、2011 年集団発生 11 事例から得られた NV 9 株と SaV 1 株および散発発生由来患者便 40 検体、2012 年集団発生 9 事例から得られた NV 10 株および散発発生由来患者便 107 検体を用いた。

環境検体：堺市内の下水処理場 3 定点の流入水および放流水を毎月 2,000ml 採取した。

流入水 108、放流水 108 計 216 検体を用いた。

2. 方法

臨床検体：便検体は 10% 乳剤とし、RNA 抽出後、マニュアル（国立感染症研究所下痢症ウイルス検出マニュアル）に準じ、NV、SaV、AsV、AiV 遺伝子をそれぞれ検出した。NV 陽性株は NV 遺伝子 Capsid 領域の 5' 側 282bp の塩基配列を決定し、系統樹解析により遺伝子型を決定した。

環境検体：採取した 2,000ml の水は粗遠心後、上清 1,000ml を分取し、HCl で pH3.5 に調整後、HA フィルター (450 μm) でウイルスを吸着濾過し、フィルターを細断し、2.0ml の pH10.5 グリシン buffer で溶出後、HCl で pH6.5 に再調整しサンプルとした。サンプルから Qiaamp viral mini RNA キットにて RNA 抽出、ABI PRISM 7900 で、GI および GII のリアルタイム PCR 法で測定し（国立感染症研究所下痢症ウイルス検出マニュアル）、採取水 1ml 当たりのコピー数を算出した。

NV 遺伝子型別は Capsid 領域を増幅し、TA クローニングベクターに挿入し、判定した。

また、SaV、AsV、AiV のウイルス遺伝子をそれぞれ検出した（国立感染症研究所下痢症ウイルス検出マニュアル）。

（倫理面への配慮）

本研究では、特定の研究対象者は存在せず、倫理面への配慮は不要である。

C. 研究結果

1. 集団発生では 2010 年は 15 事例発生し、そのうち NV GII.4 事例 9 (60%) と過半数を占めたが、2011 年は 11 事例の発生で優位の遺伝子型はなく、多様な遺伝子型の関与が認められた。しかし、2012 年は 9 事例発生し、7 (78%) 事例が GII.4 であった。過去 3 年間では 17 事例 (49%) が GII.4 で GII.4 が過半数を占めた。

散発発生では 2010 年は 38 事例で GII.4 事例 21 (55%)、2011 年は 11 事例で GII.4 事例 7 (64%)、2012 年は 66 事例の発生で 58 (88%) 事例が GII.4 であった。調査期間中 GII.4 は流行の優位株であった。特に、2012 年 10 月以降は GII.4 2012 変異株優位となった（図 1）。

2. 調査期間中、環境検体の NV 測定結果は GI および GII とともに感染性胃腸炎流行にほぼ呼応して増減がみられ、NV 遺伝子コピー数は、GI よりも GII の方が高い測定値であった（図 2）。
3. 環境検体の NV 遺伝子型別検出状況をみると、全期間を通して GI.1 および GII.4 が頻度高く検出され、2012 年 10 月以降は GII.4 202 変異株優位となつた（表 1.）。
4. 調査期間中の NV 遺伝子型別検出状況をみると、臨床検体では GI.2, 4, 8、GII.2, 3, 4, 12, 13 計 8 種類が検出され

た(図 1)。

環境検体は GI. 1, 2, 4, 7, 10, 11, 13, 14 GII. 2, 3, 4, 6, 10, 11, 12, 13, 14, 17

計 18 種類が検出された(表 1.)。この結果から当市では少なくとも、GI が 9、GII が 10、計 19 種類の遺伝子型 NV の浸入・暴露が推測された。

5. 環境水の NV 遺伝子の塩基配列の解析では、同時期に臨床検体から検出された NV 遺伝子と相同性の高いウイルスが検出された。また、GII. 4 2012 変異株は 2012 年 9 月までの臨床および環境検体には認められず、10 月以降の採取水から認められ、検出された GII. 4 すべてが変異株であった(図 3.)。
6. NV 以外の下痢症ウイルスは集団発生では SaV が 2011 年 1 事例、散発発生では 2011 年 5、2011 年 1、2012 年 1 の検出で、AiV および AsV 検出はなかつた。しかし、環境検体からは調査期間を通してどの定点からも 3 種類のウイルスの検出がみられた(表 2.)。

D. 考察

2010 年 1 月から 2012 年 12 月の堺市における下痢症ウイルス感染の実態を臨床と環境検体の両面から解析した。

NV 感染では 3 年間を通して遺伝子型 GII. 4 が流行の優位株であった。特に、当市では 2012 年 10 月に初めて検出した GII. 4 2012 変異株が 11 月に急速に感染拡大したことが確認された。

NV 遺伝子型検出状況をみると、臨床検体では GI・GII 計 8 種類が検出されたが環境検体では計 18 種類が検出され、臨床

と環境の両面から調査研究することにより詳細な NV 感染状況の把握が可能になることが示唆された。

また、SaV、AsV、AiV は臨床検体からの検出頻度は低かったが環境検体からは頻度高く検出されたことから、感染症として表面化しないウイルスの浸淫があることが示唆された。

E. 結論

下痢症ウイルス流行の全体像を捕らえることは難しいが、本調査は地域浸淫状況を把握する一つの有効な手法であると考えられた。

F. 研究発表

1. 論文発表
なし
2. 学会発表
なし

G. 知的財産権の出願・登録状況

1. 特許取得：なし
2. 実用新案登録：なし
3. その他：なし

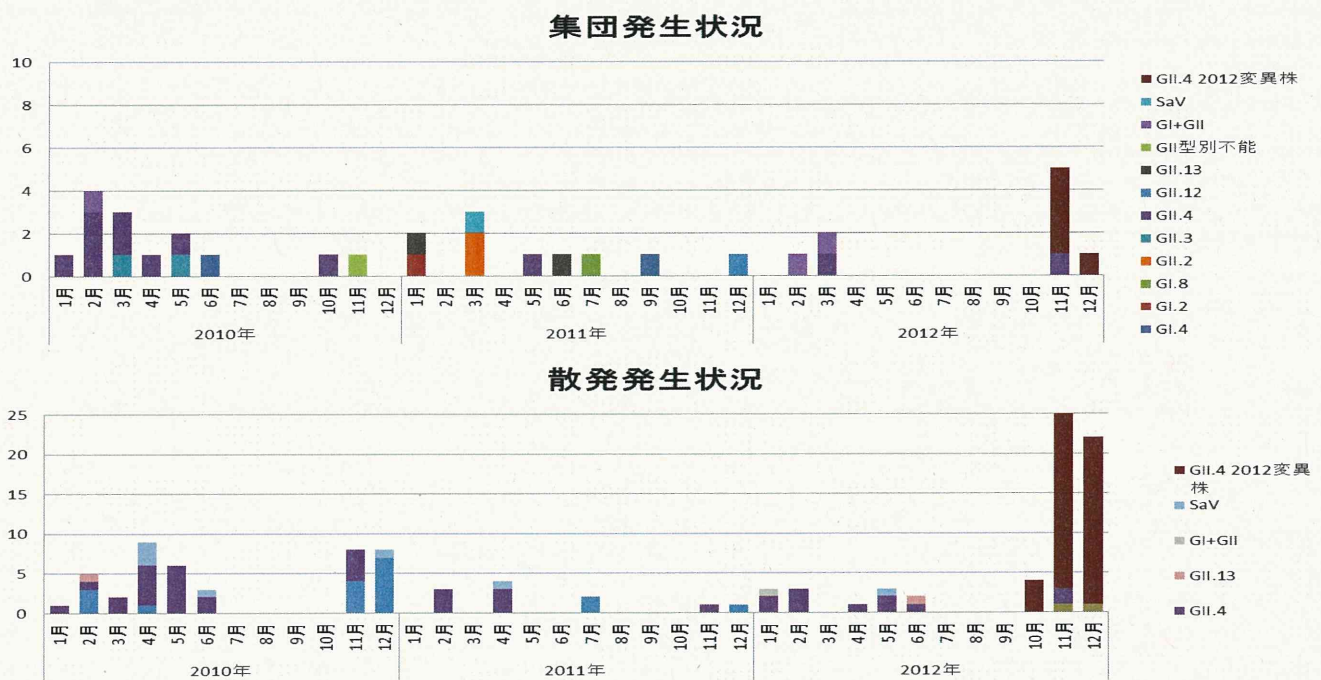


図 1. 臨床検体下痢症ウイルス検出状

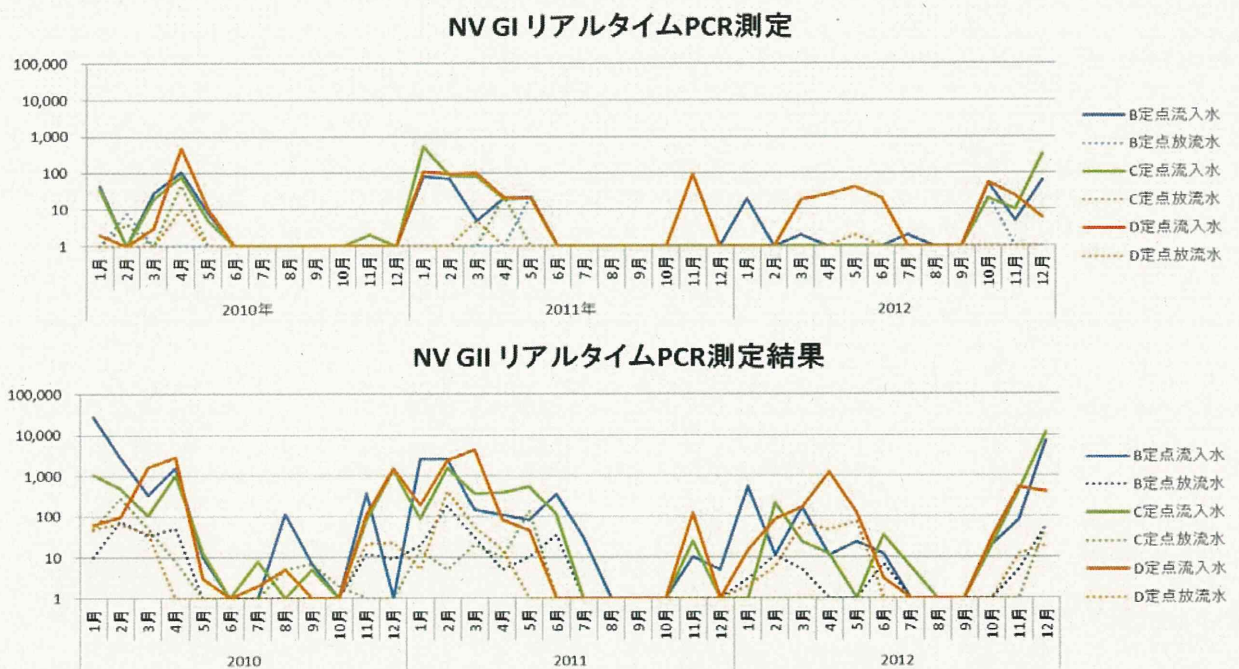


図 2. 環境検体 NV リアルタイム PCR 測定

表1. 環境検体のNV遺伝子型検出状況

検出時期		B下水処理場	C下水処理場	D下水処理場
2010	1月	GII.2 GII.4	GI.4 GII.4	
	2月	GII.4	GII.4	GII.4
	3月		GII.4	GII.4
	4月		GII.4	
	11月	GII.3		
	12月	GI.1 GII.3 GII.6	GI.1 GII.4 GI.13 GII.4 GII.6	GI.13 GII.4 GII.6
2011	1月	GI.2 GII.4 GII.6	GI.4 GII.4	GI.4 GII.4 GII.6
	2月	GI.1 GI.2 GII.3 GII.4 GII.13	GI.1 GII.4 GII.12	GI.1 GII.3 GII.4 GII.12
	3月	GI.1 GI.11 GII.3 GII.4 GII.13	GI.2 GI.3 GI.7 GI.13 GII.3 GII.4 GII.12	GI.1 GI.11 GII.3 GII.4 GII.11 GII.12 GII.13
	4月	GII.2 GII.4 GII.13	GI.14 GII.4	GI.4 GII.2 GII.4 GII.13
	5月		GI.2 GII.4	GI.4
	6月		GII.2 GII.4 GII.6 GII.17	
	11月	GII.6	GI.4 GII.6	GI.1 GI.4 GII.4 GII.6
	12月	GI.4 GII.6	GI.4 GII.6	GI.4 GII.6
	1月	GI.1 GII.2 GII.4 GII.13	GI.1 GII.2 GII.4 GII.13	GI.1 GII.2 GII.4 GII.13
	2月	GI.1 GII.2 GII.4 GII.11	GI.1 GII.4 GII.11	GI.1 GII.4 GII.4 GII.6 GII.10 GII.14
	3月	GII.4 GII.6 GII.12	GII.4 GII.11	GI.1 GII.2 GII.4 GII.6 GII.11 GII.14
	4月	GII.4 GII.6 GII.11	GII.4 GII.6	GI.1 GII.4 GII.6 GII.11 GII.14
2012	5月	GI.10	GI.1 GII.6	GI.13
	6月			GI.10
	7月			GI.1
	10月	*GII.4	*GII.4	*GII.4 GII.6
	11月	*GII.4	*GII.4	GI.4 *GII.4 GII.6
	12月	GI.1 GI.4 *GII.4	GI.1 *GII.4	GI.1 GI.4 *GII.4

*GII.4 : GII.4 2012変異株

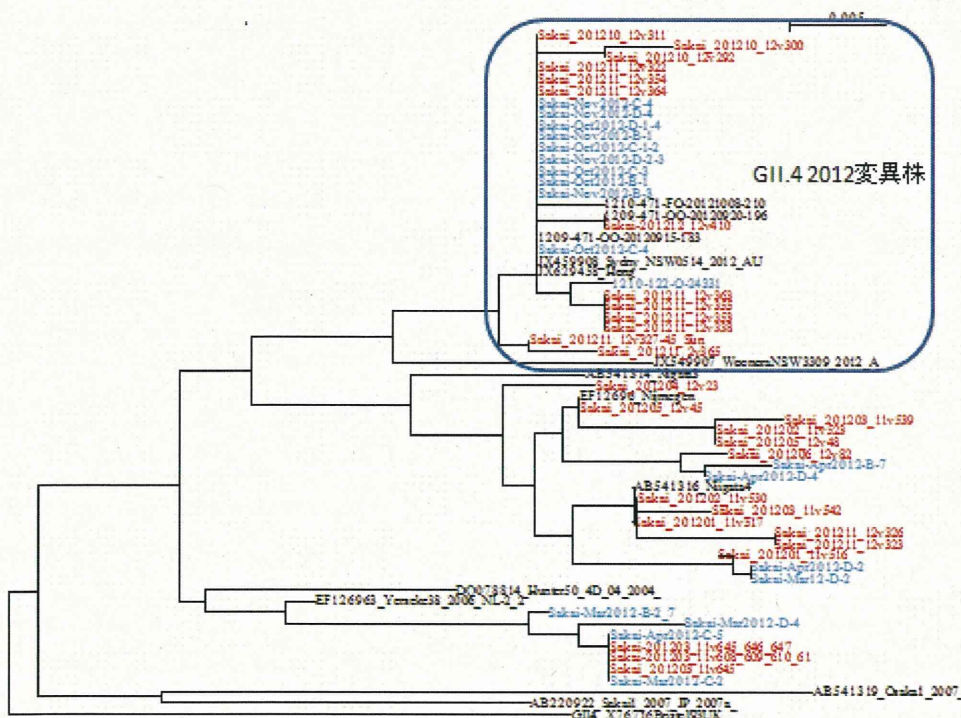


図 3. GII.4 系統樹 (N/Sr 領域 281bp) 青字 : 環境検体由来 赤字 : 臨床検体由来

表2. SaV AsV AiV 検出状況

検体由来	ウイルス	2010年												2011年												2012年																							
		1月	2月	3月	4月	5月	6月	7月	8月	9月	10月	11月	12月	1月	2月	3月	4月	5月	6月	7月	8月	9月	10月	11月	12月	1月	2月	3月	4月	5月	6月	7月	8月	9月	10月	11月	12月												
集団発生	SaV														■																																		
	AsV																																																
	AiV																																																
散発発生	SaV	■	■	■											■	■																																	
	AsV																																																
	AiV																																																
環境	SaV	■	■	■	■	■	■	■	■	■	■	■	■	■	■	■	■	■	■	■	■	■	■	■	■	■	■	■	■	■	■	■	■	■	■	■	■	■	■	■	■	■	■	■	■	■	■	■	■
	AsV																																																
	AiV																																																

厚生労働科学研究費補助金(食品の安全確保推進研究事業)

「食品中の病原ウイルスのリスク管理に関する研究」

総合研究協力報告(平成 22~24 年度)

下水処理施設、垂下カキおよびカキ喫食食中毒事例患者からの 下痢症ウイルスの検出

研究協力者	森田 晴美	岩手県環境保健研究センター
研究分担者	田中 智之	堺市衛生研究所
研究協力者	高橋 知子	岩手県環境保健研究センター
研究協力者	高橋 雅輝	岩手県環境保健研究センター
研究協力者	齋藤 幸一	岩手県環境保健研究センター

研究要旨

下水処理施設における流入水・放流水、河川水、試験的に河口部に垂下したカキ、カキ関連食中毒事例の患者便を対象として下痢症ウイルスの調査を行った。その結果各対象からノロウイルス以外にも多様なウイルスが検出され、下水処理施設の処理対象地域におけるノロウイルス以外の下痢症ウイルスによる感染性胃腸炎の発生が示唆された。このことから、流入水の下痢症ウイルス調査は処理対象地域の感染性胃腸炎の原因ウイルスを推定するのに有効であると考えられた。また、ノロウイルス以外の下痢症ウイルスもノロウイルスと同様に下水から放流された後にカキへ蓄積し、カキ喫食による食中毒の原因となると考えられた。

A. 研究目的

下水処理施設の処理対象地域におけるノロウイルス以外の下痢症ウイルスによる胃腸炎患者の発生状況について検討するため、下水処理施設の流入水の下痢症ウイルスの有無について調査を行った。放流水での検出状況からは、下痢症ウイルスの下流の河川、海域およびカキ等の二枚貝への汚染の可能性を検討した。

また、放流水中に残存したウイルスによるカキ等の二枚貝の汚染について検討するため、試験的に河口部に垂下したカ

キ（以下、垂下カキ）から下痢症ウイルスの検出状況を調査した。

さらに、カキ関連食中毒事例におけるノロウイルス以外の下痢症ウイルスの関与について検証するため、カキ関連食中毒事例の患者便を対象として下痢症ウイルスの検出を行った。

B. 研究方法

1. 材料

【平成 22 年度：下水処理施設流入水および放流水】

- ・A漁業集落排水施設（対象人口：1,200人、処理方法：接触曝気法）
- ・B下水処理施設（対象人口：12,000人、処理方法：硝化促進型活性汚泥法）について、平成21年10月～平成22年3月と平成22年8月～平成23年1月に、毎月1～2回、流入水および放流水を採取した。

【平成23年度：垂下カキおよび環境水】

- ・平成20年11月～平成21年2月に調査を行ったカキの垂下試験でノロウイルスが検出されたカキ37個を対象とした。
- ・垂下カキの上流域の合併浄化槽（3施設）、同湾周囲に位置する漁業集落排水処理施設（2施設）の流入水、放流水および河川水（2か所）を平成20年7月～平成21年3月の5～9回にわたり採水した。

【平成24年度：カキ喫食食中毒事例患者便および環境水】

- ・岩手県内の下水処理施設（対象人口：8000人、処理方法：長時間エアレーション法）の流入水および放流水を平成24年11月～平成25年2月の計7回採水した。
- ・平成23年12月～平成25年1月搬入分のカキ喫食食中毒患者便を対象とした。

2. 試料前処理方法

○環境水

- ・流入水及び放流水の静置後の上清を用いPEG沈澱法後の濃縮液を30%ショ糖液に重層後超遠心（36,000rpm150分）を行い、得られた沈澱を蒸留水で再浮遊し、ウイルス濃縮検体とした。（平成22、23年度）
- ・流入水および放流水を12,000rpmで20分間遠心後、上清をpH3.5に調整、陰電荷フィルターへろ過した後フィルターを

細切、3%Beef extractへ溶解させたものを濃縮検体とした。（平成24年度）

○カキ

カキは中腸腺をPBS（-）で10%乳剤にし、12,000rpm、20分間冷却遠心後、上清に60%PEG、NaClおよびアミラーゼを添加し2時間水平振とうした。その後、12,000rpm、20分間冷却遠心した沈渣を滅菌蒸留水400μlで再浮遊し、ウイルス濃縮検体とした。

○カキ喫食事例食中毒患者便

患者便は蒸留水で10%乳剤に調整したものを作成した。

3. ウイルス検出方法

RNAおよびDNA抽出はQIAamp MinElute Virus Kitsまたは、QIAamp Viral RNA MiniKit（QIAGEN）を用いて行った。RNAウイルスについては、抽出後DNase処理を行い、PrimeScript RT Reagent Kit（TAKARA）を用いてcDNAを作製した。以下のプライマーセットでPCR反応を行った。

・ノロウイルス

1st COG1F/G1SKR, COG2F/G2SKR
nest G1SKF/G1SKR, G2SKF/G2SKR

・サポウイルス

1st SV-F13, SV-F14/SV-R13, SV-R14
nest SV-F22/SV-R2

・エンテロウイルス

1st EVP4/OL68-1
nest EVP2/OL68-1

・アストロウイルス

1st Mon244/82b
2nd AST-S1, AST-S2, AST-S3, AST-S4,
AST-S5, AST-S6, -S7, AST-S8/END

- ・アイチウイルス
C94b(+) / 264K(-)
- ・A群ロタウイルス
1st Beg9/End9
nest aAT8, aBT1, aCT2, aDT4, aET3,
aFT9/RVG9
- ・A型肝炎ウイルス(平成22, 23年度のみ)
1st HAV+2799/HAV-3273
nest HAV+2907/HAV-3162
- ・C群ロタウイルス(平成23年度はカキのみ)
1st G8S/G8A
2nd NG8S1/NG8A2
- ・アデノウイルス(平成23年度はカキのみ)
AdnU-S' 2/AdnU-A2

(倫理面への配慮)

本研究では、特定の研究対象者は存在せず、倫理面への配慮は不要である。

C. 研究結果

1. 環境水(表1~4、図1~4)

平成22年度の調査では2009/10シーズン(2011年1月末まで)においては、ノロウイルスが高率に検出されたほか、サポウイルス、エンテロウイルス、アデノウイルス、アイチウイルス、A群ロタウイルスの下痢症ウイルスが検出された。2010/11シーズンの流入水では、両施設からノロウイルスG IおよびG II、サポウイルス、エンテロウイルス、アデノウイルス、アストロウイルス、アイチウイルス、A群ロタウイルスが検出された。放流水からも、同様に多種な下痢症ウイルスが検出されたが、2009/10およ

び2010/11シーズンとともに、流入水に比較して、各下痢症ウイルスの検出件数は少なかった。(表1~4)

平成23年度の調査ではノロウイルスG IIが多くの処理施設から検出された。その他のウイルスは、ノロウイルスG I、サポウイルス、アイチウイルス、エンテロウイルス、アストロウイルス、A群ロタウイルスが検出された。(図1, 2)

また、下水1mlあたりのノロウイルスコピー数と感染性胃腸炎患者数を比較すると、患者数が少ない時期は放流水からノロウイルスは検出されなかつたが、患者数が増加し、流入水のウイルス量が増加すると、放流水からもノロウイルスが検出された。(図3, 4)

平成24年度の調査では7回の採水を行ったすべての回でノロウイルスG IIが検出されたほか、アイチウイルス、アストロウイルス、アデノウイルスが7回中6回と高率に検出された。(図5, 6)

2. 垂下カキ

垂下カキからも、ノロウイルス以外に、サポウイルス、アイチウイルス、エンテロウイルスが検出され、下水処理施設流入水、放流水での検出状況を反映するものであった。アストロウイルス、A群、C群ロタウイルス、アデノウイルスおよびA型肝炎ウイルスは検出されなかつた。(図7)

3. カキ喫食食中毒事例患者便

7事例中2事例でノロウイルスG Iのみが検出された以外は、5事例とも同一事例でG IとG IIの両方のノロウイルスが検出された。

また、ノロウイルス以外の下痢症ウイ

ルスについては7事例中5事例でアイチウイルスが検出されたほか、サポウイルス、エンテロウイルスがそれぞれ1事例で検出された。(表5)

D. 考察

下水処理施設の流入水からの下痢症ウイルスの検出状況から、下水処理施設の処理対象地域にノロウイルス以外の下痢症ウイルスによる感染性胃腸炎の発生が示唆された。また、流入水において、連続して同じウイルスが検出される場合もあり、当該ウイルスの流行を示唆するものと考えた。これらのことから、下水処理施設の流入水の調査により処理対象地域の感染性胃腸炎の原因ウイルスと流行状況を把握することが可能と考えられた。

流入水および放流水からの下痢症ウイルスの検出状況から、胃腸炎患者数の少ない時期にはウイルスは下水処理施設の処理工程中に効果的に除去されるが、患者数増加が継続すると、一部が除去されず、検出されるウイルスが増加すると考えられた。

垂下カキから検出される下痢症ウイルスは、上流地域の感染性胃腸炎患者発生を反映しており、カキ等の二枚貝がノロウイルス以外の下痢症ウイルスも蓄積することを示唆するものであった。このことは、カキ喫食による健康被害発生の大きな要因となる可能性が考えられた。上流地域の放流水が集約する河口部へカキを垂下し、下痢症ウイルスをモニタリングすることは、河川上流地域で流行している

感染性胃腸炎ウイルスの動向を推測することが可能であると同時に、検出された時点での迅速な予防対応の啓発は、感染拡大防止に貢献できると考えられた。

カキ関連食中毒事例では、患者便からノロウイルスを含む数種類の下痢症ウイルスが同時に検出されており、それらのウイルスによりカキおよび海域が汚染されていたものと推察された。また、患者便から検出された下痢症ウイルスと同様のウイルスが下水処理施設放流水から検出された。これらのことから、ノロウイルス以外の下痢症ウイルスが放流水からカキへ蓄積し、カキ喫食による食中毒発生の原因となる可能性が示唆された。

E. 結論

下水処理施設の流入水を調査することにより、処理対象地域における感染性胃腸炎の原因ウイルスの推定が可能であると考えられた。また、ノロウイルス以外の下痢症ウイルスも放流水へ排出され、カキ等二枚貝に蓄積することが示唆された。これらのことから、カキ喫食食中毒事例にはノロウイルス以外の下痢症ウイルスも関与していることが示唆された。

F. 研究発表

1. 論文発表
なし
2. 学会発表
なし

G. 知的財産権の出願・登録状況

1. 特許取得：なし
2. 実用新案登録：なし

3. その他：なし

表1 A漁業集落排水施設における下痢症ウイルス検出状況(2009/10)

年 週	流入水					放流水					
	2009			2010		2009			2010		
	41	46	51	4	8		41	46	51	4	8
NV G I	G I型不明			G I / 4	G I型不明						
NV G II			G II / 4	G II / 4	G II型不明				G II / 4		G II / 4
Sapo		Sapo		Sapo							
Enter	Echo18			CoxA16							
Adeno		Adeno31			Adeno31		Adeno31			Adeno31	
Astro											
Aichi	Aichi									Aichi	
RotaA	RotaA		RotaA								
RotaC											
HAV											
Boca											

表2 A漁業集落排水施設における下痢症ウイルス検出状況(2010/11)

年 週	流入水						放流水									
	2010			2011			2010			2011						
	32	37	43	47	49	51	1	3	32	37	43	47	49	51	1	3
NV G I		G I型不明					G I / 11									
NV G II				G II / 2	G II / 2	G II型不明	G II / 4	G II / 4					G II / 2		G II / 2	
Sapo			SapoG1/2	SapoG1/2			Sapo									
Enter		Enter68														
Adeno		Adeno31														
Astro			Astro1				Astro1	Astro1							Astro1	
Aichi							Aichi	Aichi								
RotaA	RotaA	3														
RotaC																
HAV																
Boca																

表3 B下水処理場における下痢症ウイルス検出状況(2009/10)

年 週	流入水						放流水												
	2009			2010			2009			2010									
	43	46	49	51	2	4	6	8	10	43	46	49	51	2	4	6	8	10	
NV G I			G I / 4	G I / 4	G I / 4	G I / 4	G I / 4	G I / 4	G I / 4					G I / 4	G I / 4	G I / 4	G I / 4	G I / 4	
NV G II			G II / 2	G II / 4	G II / 2	G II / 13	G II / 2	G II / 4, 6	G II / 2						G II / 2	G II / 4	G II / 4	G II / 13	
Sapo	Sapo	Sapo			Sapo			Sapo										Sapo	
Enter		Echo9	Echo9				Rhino												
Adeno				Adeno3				Adeno41											
Astro																			
Aichi	Aichi	Aichi	Aichi		Aichi	Aichi	Aichi	Aichi	Aichi						Aichi	Aichi			
RotaA	RotaA	RotaA	RotaA				RotaA	RotaA							RotaA	RotaA	RotaA		
RotaC																			
HAV																			
Boca				Boca															

表4 B下水処理場における下痢症ウイルス検出状況(2010/11)

年 週	流入水						放流水											
	2010			2011			2010			2011								
	38	43	45	47	49	51	1	3	38	43	45	47	49	51	1	3		
NV G I		GI / 4		GI / 8		GI / 9	GI / 9	GI / 9				GI / 8		GI / 9	GI / 9	GI / 9		
NV G II		G II / 2		G II / 2	G II / 4	G II型不明	G II / 4	G II / 4				G II / 4	G II / 4		G II / 4	G II / 2		
Sapo				SapoG1/2	SapoG1/2	Sapo	Sapo	Sapo					SapoG1/2					
Enter	CoxA9	Enter68					Echo25	Echo25	Echo25									
Adeno			Adeno41				Adeno31	Adeno41	Adeno41									
Astro			Astro1	Astro1	Astro1	Astro1	Astro1	Astro1								Astro1		
Aichi		Aichi	Aichi	Aichi	Aichi	Aichi	Aichi	Aichi							Aichi	Aichi		
RotaA	RotaA	1													RotaA	RotaA		
RotaC					RotaC	RotaC	RotaC								RotaC	RotaC		
HAV																		
Boca																		

図1. 流入水における下痢症ウイルスの検出(2008/2009)

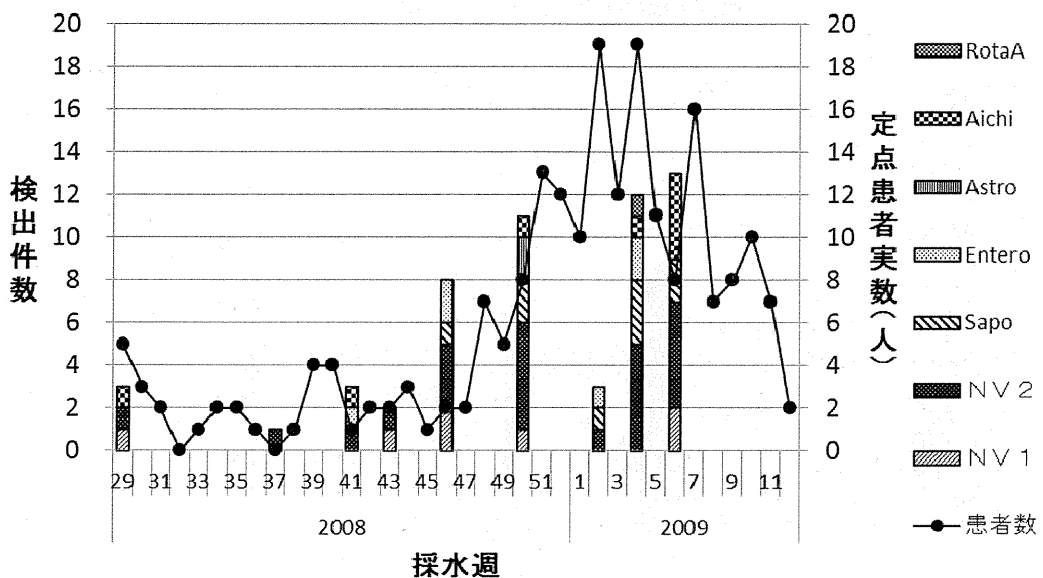


図2. 放流水における下痢症ウイルスの検出(2008/2009)

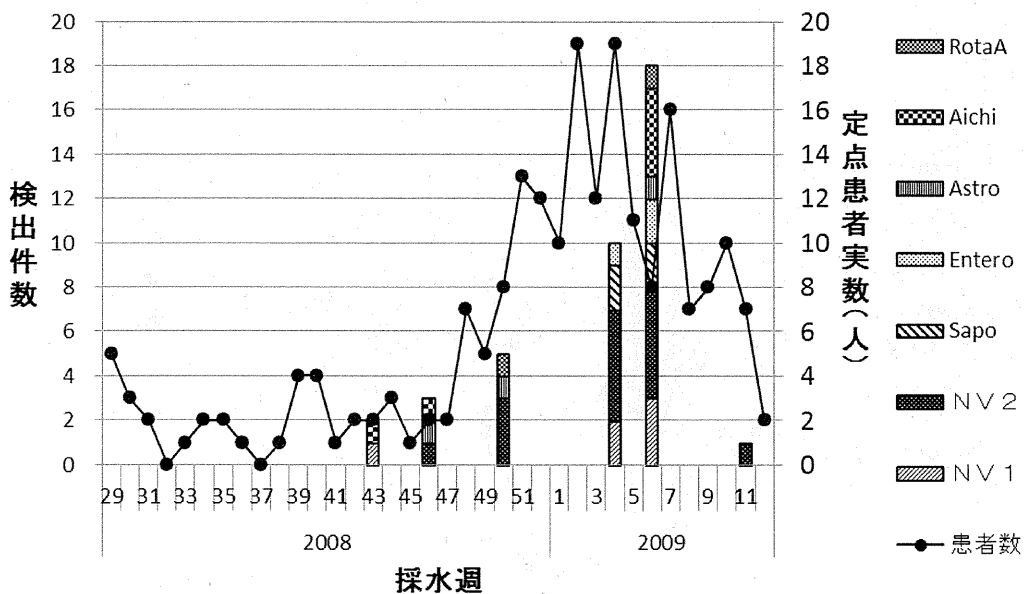


図3. 流入水中のNV濃度(2008/2009)

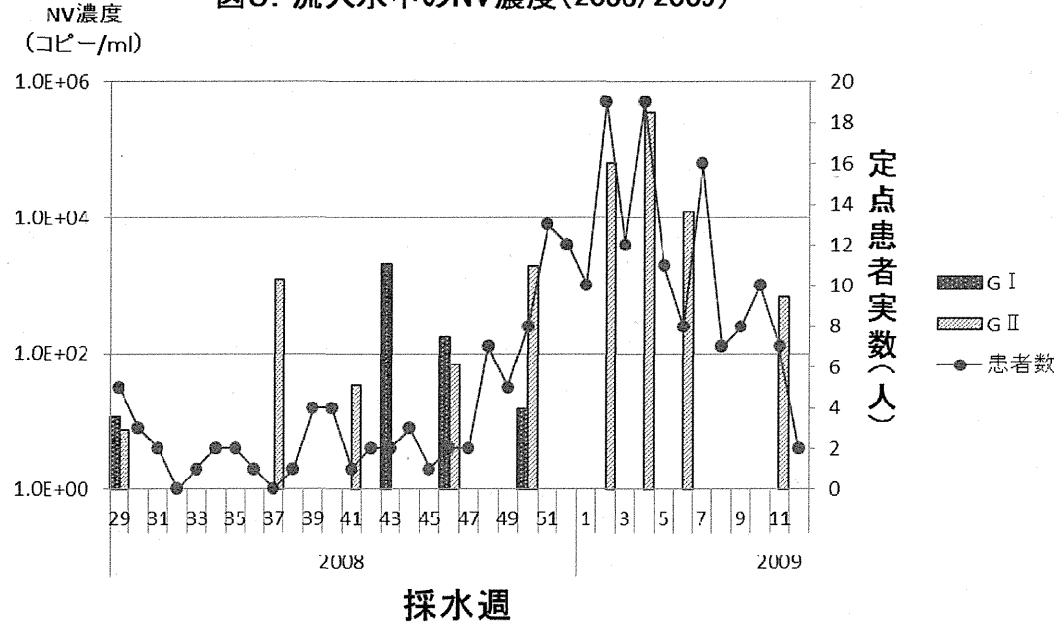


図4. 放流水中のNV濃度(2008/2009)

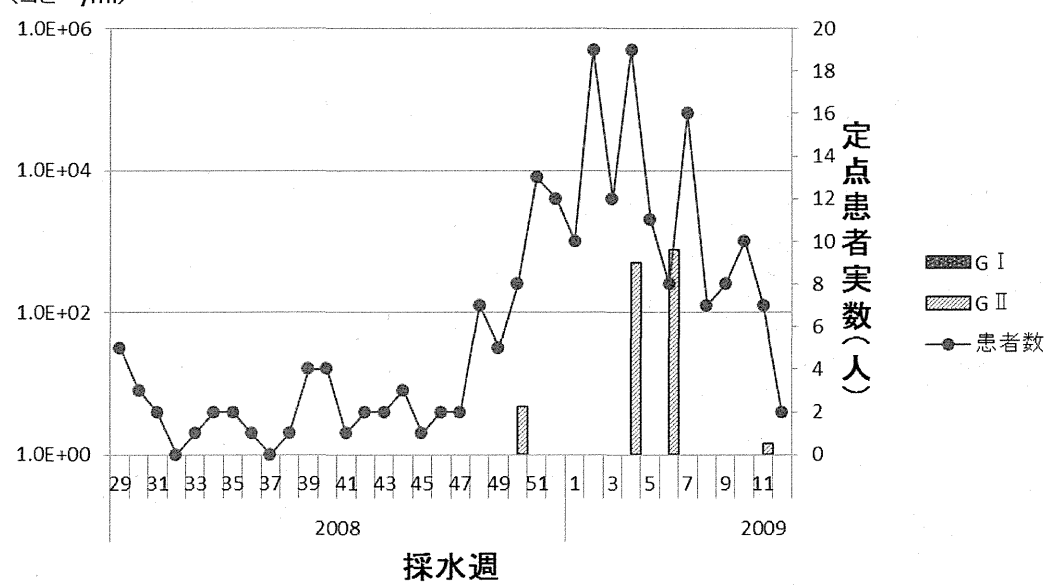


図5. 流入水における下痢症ウイルスの検出(2012/2013)

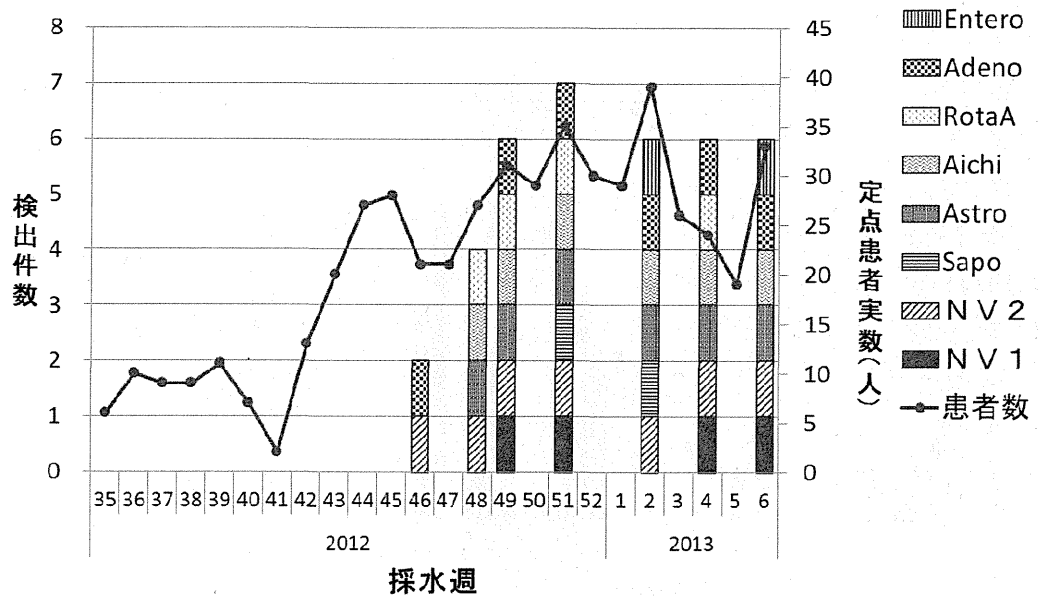


図6. 放流水における下痢症ウイルスの検出(2012/2013)

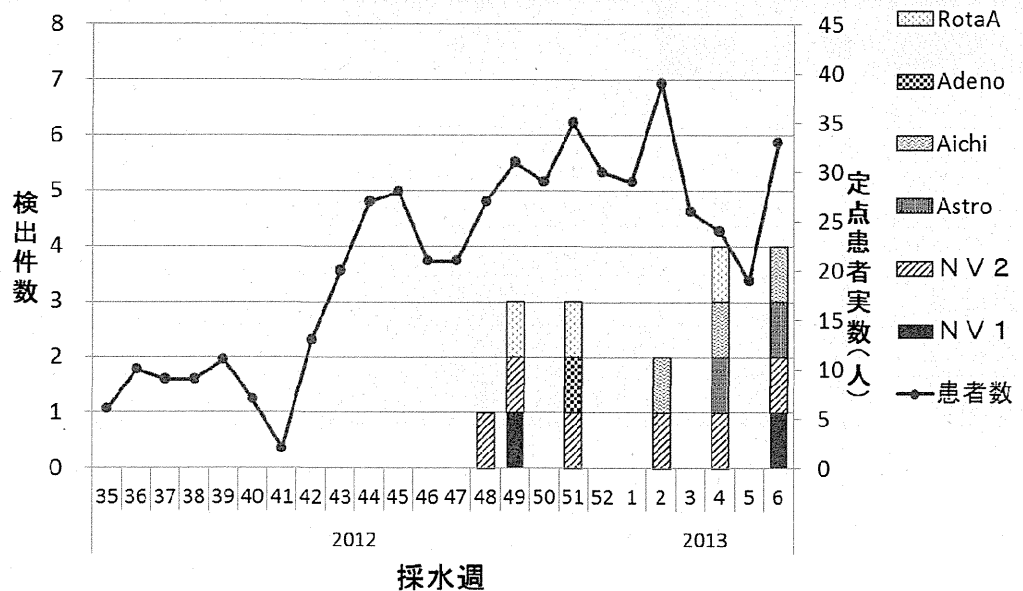


図7. 垂下カキにおける下痢症ウイルスの検出(2008/2009)

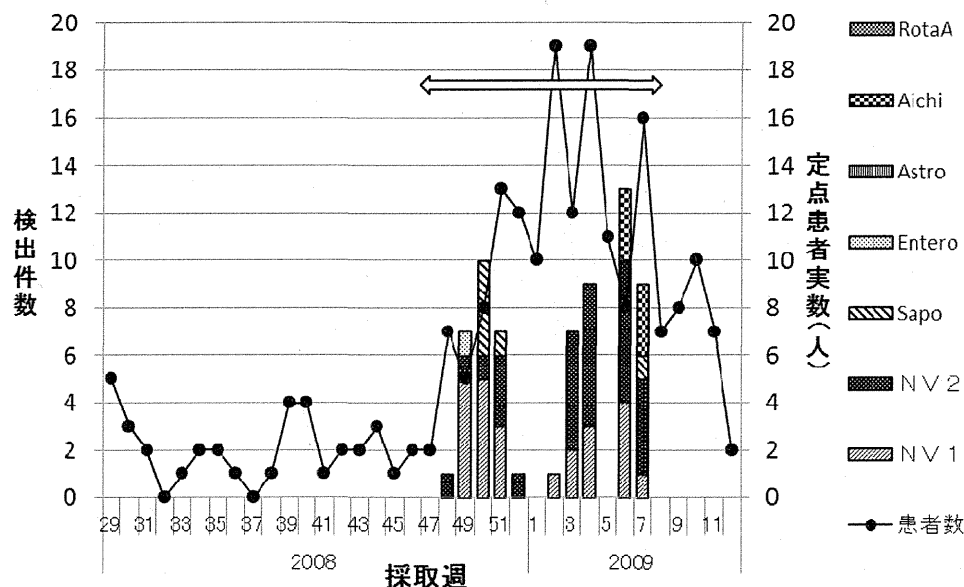


表5 力キ関連食中毒事例患者便における下痢症ウイルス検出状況

発生期間	患者数	検査数	検出ウイルス					
			NV I	NV II	NV I + NV II	Sapo	Aichi	Enterovirus
2011.12	10	5	5				1	
2011.12	20	4	4					
2011.12	26	10	2		8	2	8	
2012.2	6	3	1	1	1		2	
2012.3	20	11		10	1		1	
2012.12	11	4	2	5				
2013.1	8	7	1	4	1		2	1